

修改表（第2次印刷）

（2018年3月22日~2019年5月29日）

{红色花括号中为说明}

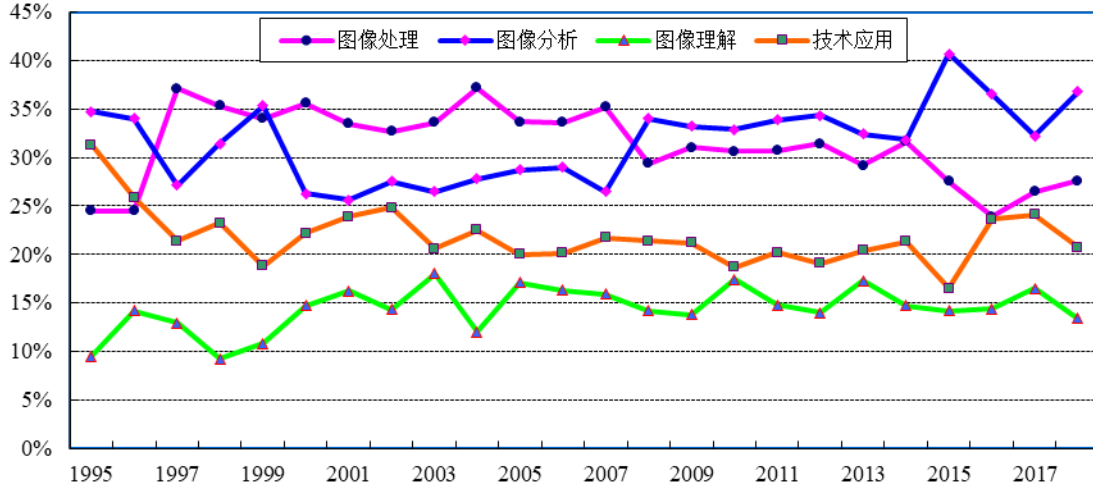
页 行 原 正

中册书概况和使用建议

16 60多万字。 约70万。

第1章

1 例 10 物体 物体和场景
 3 例 1.1.2 下 1 形式存储 形式表示和存储
 4 6 [章 2017a) [章 2017a], [章 2018], [章 2019])
 4 图 1.1.4 {换成下图}

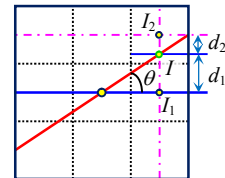


4 图 1.1.4 (图题) 22年 24年
 8 4 人脸和器官的检测、定位与识别 人体生物特征提取和验证

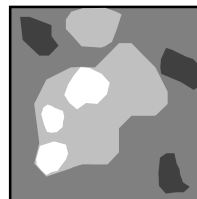
第2章

34 2.2.4 下 1 下面3种。 下面4种。

37 图 2.2.11 {图中漏标了 I , I_1 和 I_2 , 另点线和粗实线应如右图}



37 例 6 $\tan \varphi$ $\tan \theta$
 39 图 2.2.12 下 2 连通并不需要 连接并不需要



44 图 2.4.2 {图(c)应如右图, 与图(a)不同}

第3章

60 图 3.1.4

{左右两条垂直虚线与横轴的交点应为-10和10,所以-14与-6应标在-10两边相同距离点,6与14应标在10两边相同距离点,参见书稿原图}

第4章

93 图 4.2.4 下 1

得到做出

得到并做出

109 倒 6

图 13.2.4

图 13.2.5

第6章

144 图 6.1.10(b)

{右图中竖轴旁的A向下移一些,它指示的是那条水平的虚线}

152 4

14.2.2 小节

15.2.2 小节

第7章

167 图 7.2.3 下 3

但也有考虑

但有的测量考虑

173 图 7.2.12 上 2

两个相交的圆环的目标

两个不相交圆的目标

173 图 7.2.12 上 1

圆环各一次

圆各一次

第8章

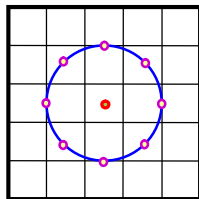
193 图 8.2.2(b)

{“错误边缘”是用箭头指示的,左数第2条竖虚线要向左移以与“黑厚目标”方框的左竖边对齐}

第9章

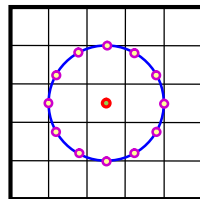
222 例 9.3.1 下 4

K-均值



(12, 1, 5)

K-均值



(12, 1.5)

225 图 9.3.7 第 2 图
图下括号

第10章

251 倒 9

q

θ

253 倒 7

7 章)

8 章)

第11章

268 图 11.2.1

下

中

269 图 11.2.2

下

中

269 表 11.2.1

下

中

269 图 11.2.3

下有

中无

269 表 11.2.2

下

中

285 (11.4.31)下 1

(11.4.5)

(11.4.31)

第12章

289 8

分析。

分析工作。

292 6

某像素

某个像素

292 7	频率越多	频率越高
292 12.2 下 4	集合……所以，	集合，……。所以，
292 倒 14	这样检测方法可以分为	考虑这个因素可以将检测方法分为
292 倒 9	提取。	提取，而考虑仿生学的方法更多考虑了人类视觉系统特性和感知理论。
293 1	进行。	来获得。
293 倒 6	环境提取时	环境中提取出来时
296 (12.3.6)	D_r	D_c
297 倒 5	相对标准方差	相对标准方差 (RSD)
298 (12.3.8)	$DC_{i,H} = \sqrt{\sum_{j \in H} \sum_{k=1}^K (f_{i,k} - f_{j,k})^2}$	$DC_{i,H_l} = \sqrt{\sum_{j \in H_l} \sum_{k=1}^K (f_{i,k} - f_{j,k})^2} \quad l=1,2,3,4$
298 图 12.3.6	两种检测显著性方法的比较	使用前景与背景像素的方向对比度的分布
299 (12.3.9)	$S_{\min}(i) = \min_H DC_{i,H} = \sqrt{\min_H \sum_{j \in H} \sum_{k=1}^K (f_{i,k} - f_{j,k})^2}$	$S_{\min}(i) = \min_{H_l} DC_{i,H_l} = \sqrt{\min_{H_l} \sum_{j \in H_l} \sum_{k=1}^K (f_{i,k} - f_{j,k})^2} \quad l=1,2,3,4$
299 (12.3.10)	$\sum_{j \in H} \sum_{k=1}^K (f_{i,k} - f_{j,k})^2 = \sum_{j \in H} \sum_{k=1}^K f_{i,k}^2 - 2 \sum_{k=1}^K \left\{ \sum_{j \in H} f_{j,k} \right\} f_{i,k} + H \sum_{k=1}^K f_{i,k}^2$	$\sum_{j \in H_l} \sum_{k=1}^K (f_{i,k} - f_{j,k})^2 = \sum_{j \in H_l} \sum_{k=1}^K f_{i,k}^2 - 2 \sum_{k=1}^K \left\{ \sum_{j \in H_l} f_{j,k} \right\} f_{i,k} + H_l \sum_{k=1}^K f_{i,k}^2 \quad l=1,2,3,4$
299 (12.3.10)下 1	其中 $ H $ 表示沿 H 方向	其中 $ H_l $ 表示沿 H_l 方向
299 (12.3.10)下 1	第 1 项和第 2 项	第 1 项以及第 2 项
301 8	F-测度	F-测度
301 (12.3.16)上 1	ROC 曲线	ROC 曲线
301 倒 6	F-测度	F-测度
301 倒 2	F-测度	F-测度
306 1	排名)。	排名。
308 倒 5	特征借助	特征出发借助
310 8	标准者	标注者
312 6	[Huang 2018]等。	[Huang 2018a]、[Huang 2018b]等。

第 13 章

317 6	本章仅先介绍	本章仅介绍
317 倒 7	都只是同一个集	都是同一个集
318 图 13.1.1 上 2	位移(A) \times	位移(A) \times
324 (13.2.3)	{包括两个式子，一行排不下，可将从“$B \ominus$”开始的第 2 式排第 2 行}	
324 图 13.2.9	膨胀和腐蚀的对偶性验证实例	膨胀和逻辑运算的结合实例
325 (13.2.19)	$A \neq \emptyset$	$A \neq \emptyset$
331 (13.3.4)上 2	\oplus	\otimes {两处}
335 (13.4.3)	$C+(A) = A - A_c + \diamond $	$C_+(A) = A - A_c^c + \diamond $

第 14 章

342 (14.1.3)上 1	$(f \wedge g)$	$(f \vee g)$
360 (14.5.10)	{求和号下的 x 和 X 为粗斜}	
360 (14.5.18)	$a \Downarrow t = (\bar{t} \Uparrow \bar{a})$	$a \Downarrow t = (\bar{t} \Uparrow \bar{a})$ {等式右边 t 和 a 为粗斜}
361 (14.5.25)	{ t 和 a 均为粗斜}	
361 (14.5.26)	{ a , s 和 t 均为粗斜, 2 和 1/2 均为上标, 即 $[(a \otimes s)^2 + (a \otimes t)^2]^{1/2}$ }	

第 15 章

367 倒 10	用 \triangle 表示	用 \diamond 表示
----------	------------------	-----------------

参考文献

424 [章 2017b]下	{插入}	[章 2018] 章毓晋. 中国图像工程: 2017. 中国图象图形学报, 23(5): 617-628.
		[章 2019] 章毓晋. 中国图像工程: 2018. 中国图象图形学报, 24(5): 665-676.
427 [Huang2018]	[Huang2018]	[Huang2018a]
427 [Huang2018]	76: 95-107.95	76: 95-107
427 [Huang2018]下	{插入} [Huang2018b]	Huang X M, Zheng Y, Huang J Z, et al. A minimum barrier distance based saliency box for object proposals generation. IEEE SPL, 25(8): 1126-1130.
428 [Kim 2004]	Harwood D, Davis L S.	Harwood D, et al.

封底

第 3 段第 2 行	二十二年	二十四年
第 4 段第 5 行	第十七届和第十八届	第十七届、第十八届和第十九届
第 4 段第 6 行	NCIG'2016)	NCIG'2016、NCIG'2018)
第 4 段第 6 行	现为	曾任